

새로운 구조의 $\lambda_g/4$ Open-stub 공진기 대역 저지 필터 설계

임원규, 김동조, 김진현, 유종원
한국과학기술원 전기 및 전자공학과
e-mail : limwongyu@kaist.ac.kr, drjwyu@ee.kaist.ac.kr

A Novel Band Stop Filter Design Using $\lambda_g/4$ Open-stub Resonator

Lim Won-Gyu, Kim Dong-Zo, Kim Jinhyun, Yu Jong-Won
Korea Advanced Institute of Science and Technology

Abstract

In this paper, we propose a novel BSF(Band Stop Filter) using the quarter-wavelength open-stub resonator which is located at the ground plane. The proposed BSF has the small area compared to the conventional ground etched BSF. It also has high Q-factor. In addition, we showed that it can apply to multi-layer structure.

I. 서론

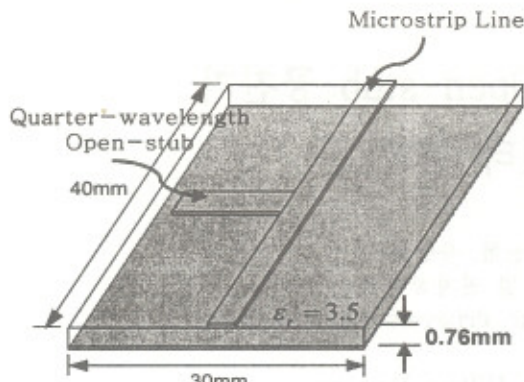
마이크로스트립 라인을 이용한 $\lambda_g/4$ Open-stub 회로는 단순한 회로 구조와 제작의 간편성으로 인해 마이크로웨이브 회로에서 폭넓게 응용되고 있다. 그러나, $\lambda_g/4$ stub를 이용한 회로는 신호를 위한 전송선 이외에 부가적인 면적을 차지한다는 문제점을 가진다. 최근에 연구된 BSF 구조는 신호 라인이 위치한 평면 [1]에서 구현되지 않고, 그라운드에 슬랫[2]-[4]을 이용하여 제작하는 새로운 방향의 연구가 활발히 진행되었다. 그러나, 이 방법도 다층구조에 적용하기에는 많은 한계점을 가진다.

이 논문에서는, 앞에서 제시한 문제점을 해결할 수 있는 새로운 구조의 $\lambda_g/4$ Open-stub Resonator를 제

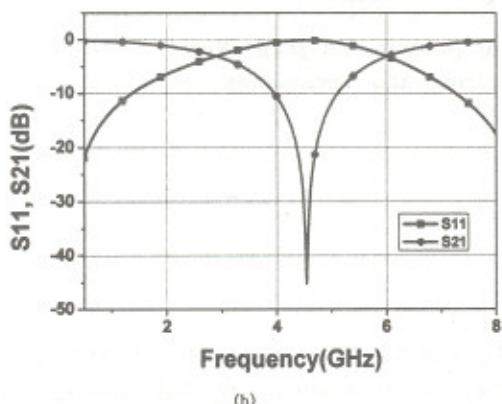
안한다. 제시된 공진기의 효율적인 면적, 낮은 필드 손실에 대한 연구를 하였고, 다층 구조적용에 대한 가능성에 대해서도 논의 되었다.

II. $\lambda_g/4$ Open-stub를 이용한 대역 저지 필터 설계

그림 1. 은 Fundamental 공진 주파수에서 동작하는 $\lambda_g/4$ Open-stub 대역저지 필터와 주파수 특성을 나타내고 있다. Open-stub의 임피던스 변화는 $Z = -jZ_0 \cot\beta l$ [4]에 의해 $\lambda_g/4$ 길이에서 그라운드와 신호선간에 Short의 임피던스 특성을 나타낸다. 이 논문에서는, 4.5GHz에서 Fundamental 공진을 일으키도록 Open stub가 설계되었고, 기판두께 $h=0.76mm$, $\epsilon_r=3.5$, 회로 폭은 50Ω 임피던스가 되도록 설계하였다. 그림 2. 는 제안된 $\lambda_g/4$ 길이의 Open-stub 공진기를 이용한 대역 저지 필터의 그림과 주파수 특성을 나타내었다. $\lambda_g/4$ 길이의 Open stub 공진기는 비아를 통하여 마이크로스트립 라인과 연결되어 있다. $w=1.67mm$, $s=0.5mm$, $l=10.2mm$ ($\approx \lambda_g/4$), $g1=g2=1mm$ 로 설계했다.



(a)

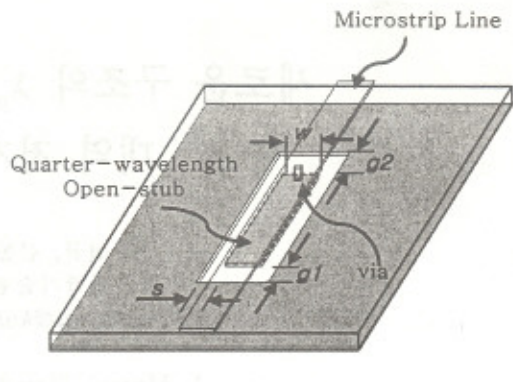


(b)

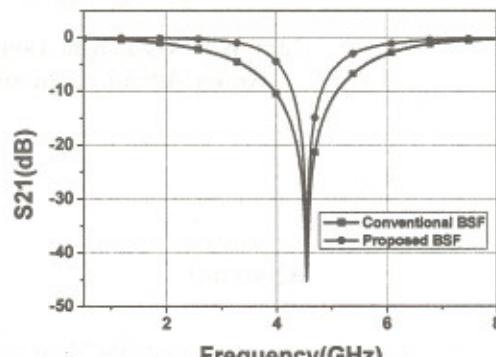
그림 1. $\lambda_g/4$ Open-stub 공진기를 이용한 (a)BSF와 (b)주파수 특성

기판의 크기, 두께, 유전율은 앞에서 제시한 것과 동일하다. 제안한 $\lambda_g/4$ 공진기는 신호라인 밑에 위치하여 부가적인 면적 이용을 최소화 하였다. 그라운드 너치를 이용하여 제작된 BSF와 달리 제안된 구조는 Quasi-TEM으로 전자기 필드를 전파할 수 있어 필드 손실을 최소화 할 수 있는 구조로 설계되었다. 그림 2.의 S21으로부터, 기존의 $\lambda_g/4$ Open-stub 공진기 구조에 비해 훨씬 높은 Q값을 가짐을 알 수 있다.

그림 3.은 제안된 $\lambda_g/4$ Open-stub 공진기의 단면 H-field 분포를 나타낸다. s 를 통해 그라운드 평면 아래에 존재하는 필드는 기존의 DGS 구조에 비해 낮은 밀도이다. 다층구조 적용에서 DGS 구조의 한계점은 에칭된 단면적을 통해 그라운드 평면을 통과하는 필드의 밀도가 높다는 것이다. 제안된 $\lambda_g/4$ Open-stub 공진기의 다층구조 특성에 대해서는 다음 단락에서 좀 더 자세히 다룬다. 그림 2에서 제안한 BSF의 각 파라미터의 영향을 살펴보았다. 시뮬레이션에서 마이크



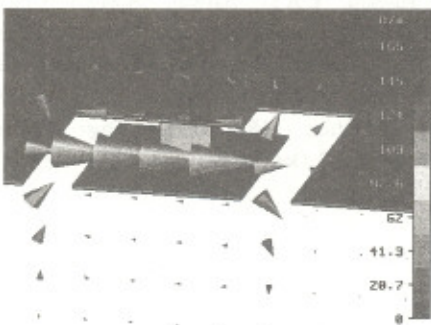
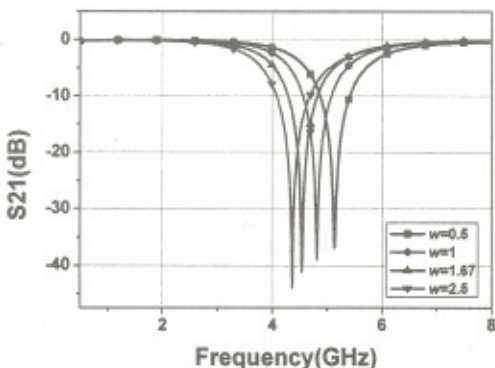
(a)



(b)

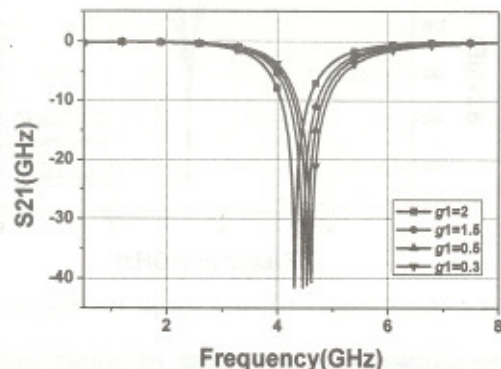
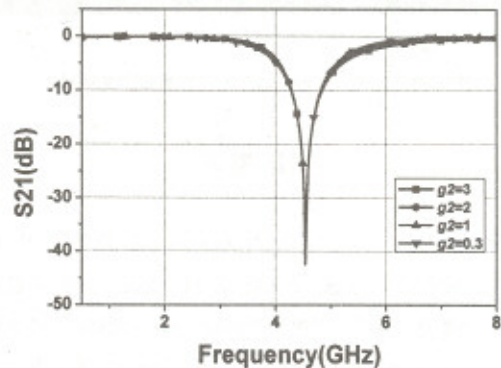
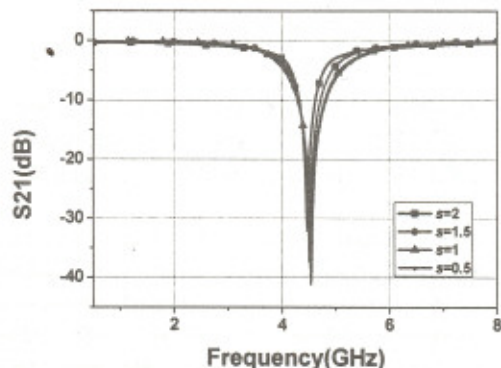
그림 2. (a)제안된 $\lambda_g/4$ Open-stub 공진기의 구조 및 (b)기존의 BSF 와 제안된 BSF에 대한 비교

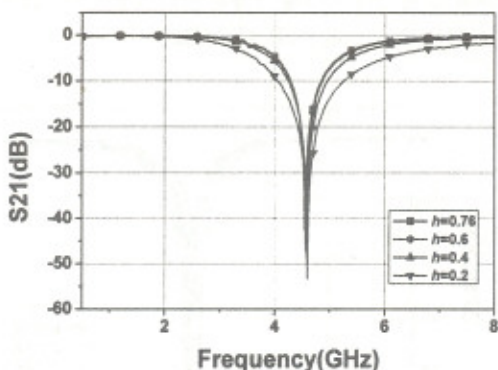
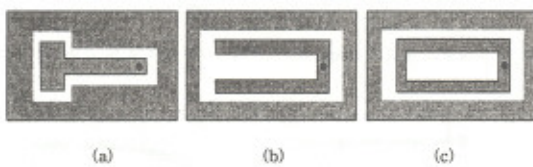
로스트립 라인의 임피던스는 50Ω 의 특성 임피던스를 갖도록 설계하였다. 각 파라미터를 고려할 때, 변화 요인을 제외한 나머지 파라미터는 $\lambda_g/4$ Open-stub의 폭 $w=1.67\text{mm}$, $l=10.2\text{mm}(\approx \lambda_g/4)$ 로 하였으며, $s=0.5\text{mm}$, $g1=g2=1\text{mm}$ 으로 하였다. 그림 4는 $\lambda_g/4$ Open-stub의 폭 w 의 변화에 대한 주파수 특성을 나타내었다. 시뮬레이션은 $w=0.5, 1, 1.67, 2.5\text{mm}$ 로 변화하여 S21에 대한 주파수 특성을 나타내고 있다. 그림 4로부터, $\lambda_g/4$ Open-stub의 폭이 증가함에 따라 유효 길이 증가와 커페시턴스 값의 변화에 의해 공진 주파수가 낮아짐을 알 수 있다. 그림 5.에서는 $\lambda_g/4$ Open-stub 와 그라운드 사이의 간격에 대한 주파수 특성을 살펴보았다. $g1=0.3, 0.5, 1.5, 2\text{mm}$ 로 변화하면서 주파수 변화에 대한 S21을 나타내었다. 그림 6에서는 $g2=0.3, 1, 2, 3\text{mm}$ 으로 변화하면서 S21에 대한 결과를 나타내었다. 그림

그림 3. 제안된 $\lambda_g/4$ Open-stub 공진기의 단면 전류 분포그림 4. 제안된 $\lambda_g/4$ Open-stub 공진기의 폭에 따른 주파수 특성

7에서는 $s=0.5, 1, 1.5, 2\text{mm}$ 로 변화하면서 S21의 주파수 특성을 살펴보았다. 그림으로부터 Open-stub의 끝과 그라운드 사이의 간격 $g1$ 이 작을수록 공진주파수가 높아지고, 마이크로스트립 라인과 Open-stub를 연결하는 비아와 그라운드 사이의 간격 $g2$ 는 공진주파수 및 Q 값에 거의 영향을 주지 않음을 알 수 있다. 또한, Open-stub와 그라운드 사이의 간격 s 는 공진주파수에는 크게 영향을 주지 않지만, Q 값에는 크게 영향을 준다는 것을 알 수 있다. 그림 8은 다층기판 구조나 메탈 월딩을 고려하여 그라운드 아래에 다른 금속판이 존재할 수 있다는 가정하에 그라운드와 금속 기판 사이의 거리 변화에 따른 S21을 시뮬레이션 하였다. 유전체는 공기를 가정하였고, 거리 $d=0.2, 0.4, 0.6, 0.76$ 으로 변화하였다. 그림 8로부터, 제안된 $\lambda_g/4$ Open-stub 공진기의 공진주파수와 Q 값은 기판 추가에 영향을 거의 받지 않음을 알 수 있다. 제안된 구조는 그라운드 평면과 Open-stub 구조의 거리를 조절하여 그라운드를 통해 나가는 필드의 양을 변경할 수 있다. 그림 9에서는 다양한 회로 상황에 맞게 적용 가능

하도록 그림 2의 구조를 변경하였다. 그림에서는 그라운드 기판과 Open-stub 만을 나타내었다.

그림 5. 그라운드 평면과 Open-stub사이의 거리 $g1$ 에 따른 주파수특성그림 6. 그라운드 평면과 Open-stub사이의 거리 $g2$ 에 따른 주파수특성그림 7. 그라운드 평면과 Open-stub사이의 거리 s 에 따른 주파수특성

그림 8. 그라운드 평면과 금속판 사이의 거리 h 에 따른 주파수 특성그림 9. 제안된 $\lambda_g/4$ Open-stub 구조를 변경한 실제 예들

III. 결론

논문에서는 기존의 $\lambda_g/4$ Open-stub 대역 저지 필터를 보완한 새로운 구조의 $\lambda_g/4$ Open-stub 공진기를 이용한 대역 저지 필터를 제안하였다. 제안된 $\lambda_g/4$ Open-stub 공진기를 이용한 BSF는 효율적으로 면적을 줄였고, 필드 손실을 최대한 줄일 수 있어 다른 구조에 적용 가능함을 보였다.

참고문헌

- [1] Wen-Hua Tu; Kai Chang, "Compact microstrip bandstop filter using open stub and spurline," *IEEE Vol15, Issue: 4, pp 268 - 270, April 2005*
- [2] Abdel-Rahman, A, Ali, A.R.; Amari, S.; Omar, A.S., " Compact bandpass filters using defected ground structure (DGS) coupled resonators," *Microwave Symposium Digest, 2005 IEEE MTT-S International pp.1479-1482, June 2005*
- [3] J. S. Yoon, J. G. Kim and C. S. Park, " A New DGS Resonator and Its Application to Bandpass Filter Design," *IEEE Trans. Microwave Theory Tech., MTT-S, pp.1605-1608*

- [4] Hamad, E.K.I.; Safwat, A.M.E.; Omar, A.S, "Controlled capacitance and inductance behaviour of L-shaped defected ground structure for coplanar waveguide", *Microwaves, Antennas and Propagation, IEE Proceedings-Volume 152, Issue 5, 7 Oct. 2005 Page(s):299 - 304*